

## АНАЛИТИЧЕСКАЯ ХИМИЯ

УДК 543.4:54.412.2:542.61

# АЗОСОЕДИНЕНИЯ КАК АНАЛИТИЧЕСКИЕ РЕАГЕНТЫ НА МОЛИБДЕН. СПЕКТРОФОТОМЕТРИЧЕСКОЕ И ВОЛЬТАМПЕРОМЕТРИЧЕСКОЕ ИЗУЧЕНИЕ СИСТЕМЫ МОЛИБДЕН(VI) – 4-(2-ПИРИДИЛАЗО)РЕЗОРЦИН – ГИДРОКСИЛАМИН

В.М. Иванов, Г.В. Прохорова, Г.А. Кочелаева

(кафедра аналитической химии)

**Спектрофотометрическим и осциллополярографическим методами исследовано комплексообразование в системе Mo(VI) – 4-(2-пиридилазо)резорцин – гидроксиламин. Установлено, что образуется смешанолигандный комплекс с молярным соотношением компонентов 1:1:1, максимумом светопоглощения при 530 нм и молярным коэффициентом поглощения  $2.9 \cdot 10^4$ . На осциллополярограмме наблюдаются два пика при  $-0.38$  В (восстановление свободного ПАР) и  $-0.49$  В (восстановление ПАР из комплекса). Пределы обнаружения составляют  $4.7 \cdot 10^{-7}$  М,  $2.6 \cdot 10^{-7}$  М и  $9.4 \cdot 10^{-9}$  М Mo(VI) при спектрофотометрическом, прямом и косвенном осциллополярографическом определении молибдена соответственно.**

Наиболее устойчивой и потому чаще всего используемой в аналитической химии молибдена является степень окисления +6. В зависимости от кислотности среды и присутствия посторонних ионов ионное состояние молибдена может быть представлено разнообразными формами от катионной  $\text{MoO}_2^{2+}$  до анионной  $\text{MoO}_4^{2-}$ , поскольку Mo(VI) склонен к координации кислорода и кислородсодержащих соединений. Типичными кислородсодержащими реагентами являются *o,o'*-диоксиазосоединения типа люмогалиона ИРЕА или магнезона ИРЕА [1] и азопроизводные *o*-диоксибензола (пирокатехина) [2].

Гетероциклические азосоединения (ГАС) являются трехдентатными лигандами, в которых атомы азота азогруппы и кислорода оксигруппы аналогичны таковым в *o,o'*-диоксиазосоединениях, однако в отличие от последних ГАС содержат в качестве третьего донорного атома не кислород оксигруппы, а гетероциклический атом азота, к координации с которым молибден (VI) не расположен.

ГАС широко применяют для определения многих металлов [3], однако сведения об их применении для определения молибдена (VI) ограничены. Так, установлено образование при pH 6–7 смешанолигандного соединения молибдена (VI) с 4-(2-пиридилазо)резорцином (ПАР) в присутствии гидроксиламина (ГА) с соот-

ношением компонентов 1:1:1, максимумом светопоглощения при 530 нм, молярным коэффициентом поглощения  $2.75 \cdot 10^4$  и очень маленькой константой устойчивости ( $\lg \beta = 4$ ) [4]. Есть сведения [5] о возникновении каталитических токов в системе Mo(VI)-ПАР в 0.5 М ацетатном буферном растворе (pH 4.74), содержащем  $\text{NaBrO}_3$ . Предложена схема каталитического цикла, включающая восстановление Mo(VI) из комплекса с ПАР до Mo(V) и его окисление до Mo(VI) броматом. Однако данная схема не объясняет возможности восстановления ПАР на электроде, а факт образования двухкомпонентного комплекса Mo(VI) – ПАР в литературе до сих пор не подтвержден.

Цель настоящей работы – изучение комплексообразования в системе Mo(VI) – ПАР – ГА и определение химико-аналитических характеристик комплекса.

### Экспериментальная часть

**Реагенты.** Исходный раствор молибдена (4.80 мг/мл) приготовлен из  $(\text{NH}_4)_6\text{Mo}_7\text{O}_{24} \cdot 4\text{H}_2\text{O}$  «х.ч.» и стандартизован гравиметрически. Использовали  $1 \cdot 10^{-3}$  М водный раствор ПАР гарантированной чистоты; раствор ГА (100 мг/мл) готовили ежедневно по навеске  $\text{NH}_2\text{OH} \cdot \text{HCl}$  «ч.д.а». Все реагенты имели квалификацию не ниже «ч.д.а», для приготовления растворов использовали деионированную воду.

**Аппаратура.** Оптическую плотность растворов измеряли на спектрофотометре СФ-46 ( $l = 1$  см), pH контролировали универсальным иономером pH-121 (стеклянный электрод). Электрохимические исследования выполняли на осциллографическом полярографе ПО-5122 (модель 03). В качестве индикаторного электрода применяли ртутный капающий электрод с периодом капания 5 с, при разомкнутой цепи. Электродом сравнения служил насыщенный каломельный электрод.

### Результаты и их обсуждение

**Спектрофотометрическое исследование. Методика.** В градуированные пробирки емкостью 20 мл вводили растворы молибдена, ПАР, ГА. С помощью 0.1 М растворов HCl и CH<sub>3</sub>COONa создавали требуемое значение pH, разбавляли бидистиллятом до метки, перемешивали и нагревали в кипящей водяной бане. После охлаждения растворы разбавляли до 20 мл бидистиллятом, перемешивали, контролировали pH и измеряли оптическую плотность относительно воды. В аналогичных условиях готовили растворы сравнения, измеряли их оптическую плотность, а затем вносили поправку в оптическую плотность растворов комплекса.

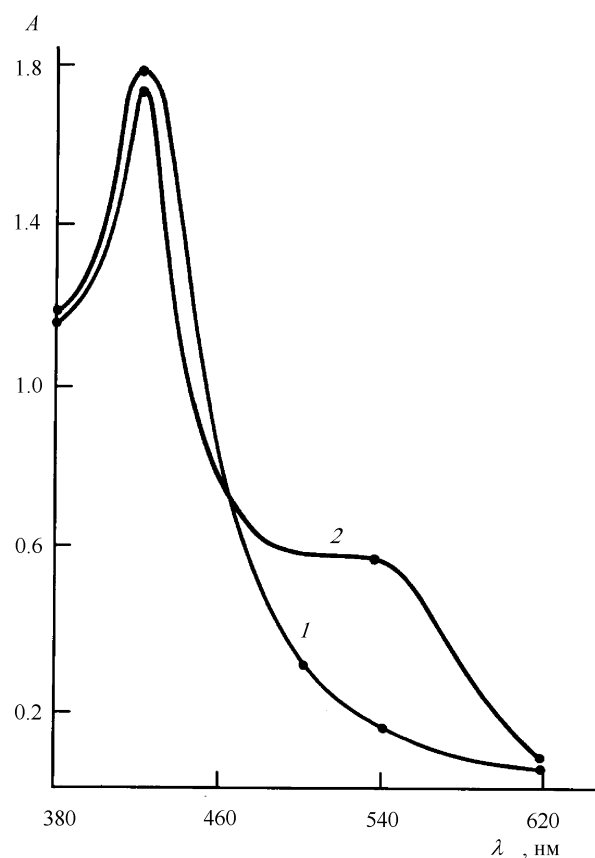


Рис. 1. Спектры светопоглощения различных систем при  $c_{\text{Mo(VI)}} \cdot 10^5, M: 1 - 0, 2 - 2$  (pH 4.9; 0.14 M ГА;  $1 \cdot 10^{-4}$  M ПАР)

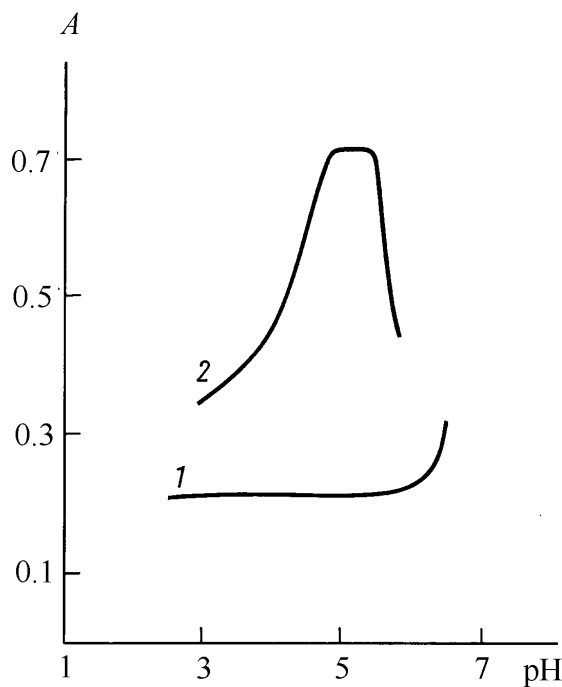


Рис. 2. Зависимость оптической плотности от pH раствора при  $c_{\text{Mo(VI)}} \cdot 10^5, M: 1 - 0, 2 - 2$  (pH 4.9; 0.14 M ГА;  $1 \cdot 10^{-4}$  M ПАР)

**Условия образования комплексов.** Растворы ПАР с ГА в оптимальных условиях образования комплекса с Mo(VI) имеют максимум светопоглощения при  $\lambda=420$  нм, который при введении Mo(VI) смещается батохромно и при pH 4.5 – 5.3 имеет широкое плато при  $\lambda=480-530$  нм (рис. 1). Оптимальной является длина волны  $\lambda=530$  нм, при которой светопоглощение ПАР мало. В дальнейшем оптическую плотность измеряли при 530 нм.

Зависимость оптической плотности от pH приведена на рис. 2, из которого видно, что pH<sub>опт</sub>=4.5–5.3. При этих значениях pH оптическая плотность раствора сравнения практически постоянна, при pH>5.4 оптическая плотность растворов комплекса сильно уменьшается, а оптическая плотность растворов ПАР сильно возрастает вследствие диссоциации *n*-оксигруппы ПАР и батохромного сдвига максимума светопоглощения ПАР. Оптимальную величину pH 4.5–5.3 создавали с помощью 0.1 M ацетатного буферного раствора.

Реакция комплексообразования на холде практически не протекает, при нагревании растворов в кипящей воде оптическая плотность уже через 5 мин начинает сильно возрастать и становится постоянной при нагревании в течение 20–45 мин (в дальнейшем растворы нагревали 30 мин).

Для выбора оптимальных концентраций ПАР и ГА строили кривые насыщения при концентрациях

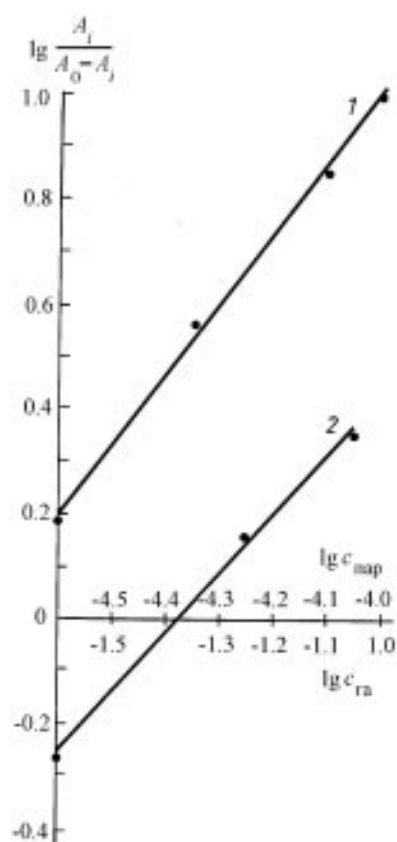


Рис. 3. Обработка кривой насыщения билогарифмическим методом для: 1 – ПАР, 2 – ГА

$2.5 \cdot 10^{-5}$  М Mo(VI),  $1 \cdot 10^{-4}$  М ПАР и  $0.028$ – $0.196$  М ГА или концентрациях  $2.0 \cdot 10^{-5}$  М Mo(VI),  $0.14$  М ГА и  $2.5 \cdot 10^{-5}$  –  $2.5 \cdot 10^{-4}$  М ПАР. Установлено, что при концентрации молибдена  $2.0 \cdot 10^{-5}$  М оптимальные концентрации равны  $1.0 \cdot 10^{-4}$  М ПАР и  $0.14$  М ГА, что составляет 5-кратный мольный избыток ПАР и 7000-кратный избыток ГА по отношению к молибдену и одновременно свидетельствует о прочности связи компонентов в комплексе. Кривые насыщения обработаны билогарифмическим методом, из которого найдено соотношение компонентов в комплексе 1:1:1 (рис. 3).

*Оптические характеристики комплекса.* Уравнения градуировочных графиков получены для растворов с pH 4.9 и pH 5.3 и имеют вид ( $n=5$ ,  $P=0.95$ ):

$$\begin{aligned} A &= (2.9 \pm 0.1) \cdot 10^4 c + (0.12 \pm 0.02) \quad (\text{pH } 4.9), \\ A &= (3.0 \pm 0.6) \cdot 10^4 c + (0.2 \pm 0.1) \quad (\text{pH } 5.3). \end{aligned}$$

Графики линейны при содержании молибдена  $5.0 \cdot 10^{-6}$ – $2.5 \cdot 10^{-5}$  М, молярные коэффициенты поглощения  $(2.9 \pm 0.1) \cdot 10^4$  (pH 4.9) и  $(3.0 \pm 0.6) \cdot 10^4$  (pH 5.3) практически постоянны, однако воспроизводимость результатов лучше при pH 4.9. Предел обнаружения мо-

либдена рассчитан по 3s-критерию и равен  $4.7 \cdot 10^{-7}$  М (0.045 мкг/мл).

*Электрохимические исследования. Методика.* Создавали оптимальные условия, найденные спектрофотометрически: pH 4.5–5.3 (ацетатный буферный раствор), время нагревания в кипящей водяной бане 30 мин. Условия регистрации осциллополярограмм:  $E_h = -0.2$  В, время задержки 5 с, диапазон тока 5, скорость развертки потенциала 1 В/с.

Осциллополярограммы системы и отдельных её компонентов приведены на рис. 4. Видно, что в оптимальных условиях комплексообразования Mo(VI) неэлектроактивен (кривая 2). На осциллополярограмме ПАР (кривая 3) наблюдается четкий симметричный пик

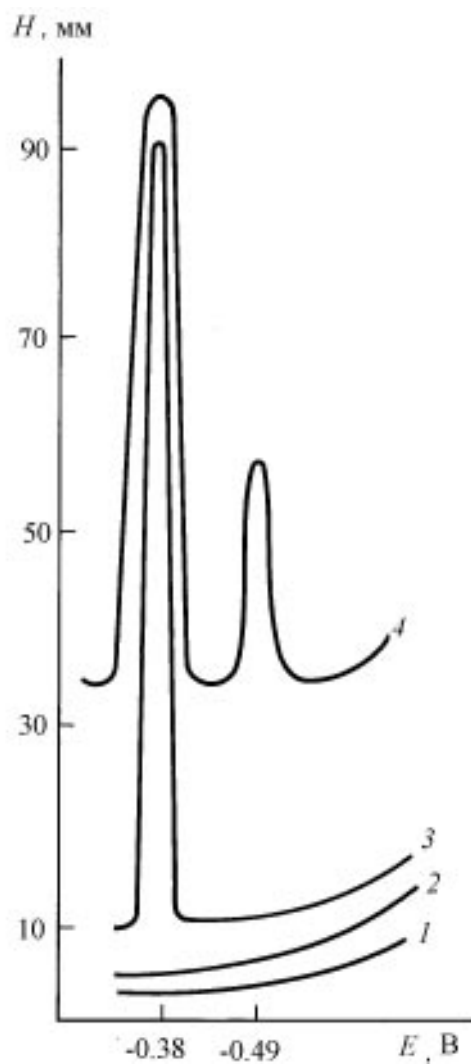


Рис. 4. Осциллополярограммы отдельных компонентов системы при:  $c_{\text{ГА}}$ , М: 1, 2 – 0; 3, 4 – 0.14;  $c_{\text{Mo(VI)}}$  ·  $10^5$ , М: 1–3 – 0; 4–2;  $c_{\text{ПАР}}$  ·  $10^4$ , М: 1, 2 – 0; 3, 4 – 1 (pH 4.9)

**Коэффициенты уравнения градуировочных графиков  $y = bx + a$  для разных условий регистрации высоты пика**

Пик, В	$c_{\text{Mo}}, \text{M}$	$a$	$b$	Условия регистрации			Предел обнаружения, М
				ДТ	$\tau, \text{с}$	$V, \text{B/c}$	
-0.49	$(0.5\text{--}2.5)\cdot10^{-5}$	$2\pm2$	$(1.1\pm0.1)\cdot10^6$	5	5	1	$3.2\cdot10^{-6}$
-0.38	$(0.5\text{--}2.5)\cdot10^{-5}$	$95\pm1$	$-(1.12\pm0.02)\cdot10^6$	5	5	1	$1.9\cdot10^{-6}$
-0.49	$(0.5\text{--}2.5)\cdot10^{-6}$	$8\pm1$	$(4.6\pm0.6)\cdot10^6$	5	1	0.25	$2.6\cdot10^{-7}$
-0.38	$(0.5\text{--}2.5)\cdot10^{-6}$	$106\pm1$	$-(1.20\pm0.07)\cdot10^7$	2	2	1	$1.7\cdot10^{-7}$
-0.38	$(0.5\text{--}2.5)\cdot10^{-7}$	$102\pm1$	$-(1.06\pm0.06)\cdot10^8$	0.3	2	0.5	$9.4\cdot10^{-9}$

при  $-0.38$  В, высота которого линейно растет с повышением концентрации ПАР:

$c_{\text{ПАР}} \cdot 10^5, \text{ М}$	5.0	7.5	10.0
$H, \text{ мм} (-0.38 \text{ В})$	40	60	80

и два плохо воспроизводимых, маленьких несимметричных пика при  $-0.72$  и  $-0.92$  В. В дальнейшем осциллополярограммы регистрировали в интервале развертки потенциала от  $-0.2$  до  $-0.7$  В и рассматривали только пик при  $-0.38$  В, обусловленный восстановлением ПАР. При введении ГА (кривая 4) потенциал и высота пика при  $-0.38$  В не изменяются. На осциллополярограмме системы Mo(VI) – ПАР – ГА (кривая 5) появляется новый симметричный пик при  $-0.49$  В, высота которого растет с повышением концентрации Mo(VI). Одновременно наблюдается пропорциональное снижение высоты пика при  $-0.38$  В, в результате чего сумма высот этих пиков сохраняется постоянной.

$c_{\text{ПАР}} \cdot 10^6, \text{ М}$	5	10	15	20	25
$H, \text{ мм} (-0.38 \text{ В})$	74	70	65	59	55
$H, \text{ мм} (-0.49 \text{ В})$	8	13	18	23	28
Сумма	82	83	83	82	83

Зависимость высоты пика при  $-0.49$  В от концентрации ПАР изучали при постоянных концентрациях  $0.14$  М ГА,  $2.0 \cdot 10^{-5}$  М Mo(VI) и переменной концентрации от  $2.5 \cdot 10^{-5}$  М до  $2.0 \cdot 10^{-4}$  М ПАР, при этом соотношение ПАР:Mo(VI) изменялось от 1:5 до 30:1. При изучении влияния концентрации ГА ее значения варьировали в диапазоне  $0.05$ – $0.6$  М, а концентрации ПАР ( $1.0 \cdot 10^{-4}$  М) и Mo(VI) ( $2.0 \cdot 10^{-5}$  М) сохраняли постоянными. Оказалось, что оптимальные концентрации компонентов, найденные осциллополярографически, совпадают с концентрациями, найденными спектрофотометрически.

*Природа предельных токов.* Изучение зависимости высот пиков при  $-0.38$  и  $-0.49$  В от скорости развертки потенциала (0.5–2.0) В/с показало, что высоты обоих пиков растут. Тангенс угла наклона в обоих случаях одинаков и равен 0.6, что характерно для диффузион-

ных процессов, осложненных адсорбцией деполяризатора. Известна склонность азотсодержащих органических соединений адсорбироваться на поверхности ртутного электрода. Электрокапиллярные кривые, полученные при pH 6.9 на фоне  $0.1$  М  $\text{K}_2\text{SO}_4$  и концентрациях ПАР от  $5.0 \cdot 10^{-5}$  М до  $8.0 \cdot 10^{-5}$  М, подтверждают адсорбцию ПАР на электроде. На это же указывает и отсутствие зависимости высот пиков от диэлектрической проницаемости среды при изменении содержания ацетона от 1 до 25 об.%.

Циклические вольтамперограммы системы Mo(VI) – ПАР – ГА, а также вид зависимости  $h_a/h_k$  ( $h_a$  – высота анодного пика,  $h_k$  – высота катодного пика) от скорости развертки потенциала для пиков ПАР ( $-0.38$  В) и комплекса ( $-0.49$  В) указывают на то, что электродный процесс при  $-0.49$  В более обратим: отношение  $h_a/h_k \approx 1$  и в меньшей степени зависит от скорости развертки потенциала.

Линейная зависимость высоты пика восстановления ПАР из комплекса при  $-0.49$  В и свободного ПАР при  $-0.38$  В от концентрации Mo(VI) дает возможность как прямого, так и косвенного определения Mo(VI). Уравнения градуировочных графиков для различных диапазонов концентраций Mo(VI) и ПАР приведены в таблице.

Предел обнаружения молибдена при измерении высоты пика при  $-0.38$  и  $-0.49$  В составляет  $9.4 \cdot 10^{-9}$  и  $2.6 \cdot 10^{-7}$  М соответственно, т.е. чувствительность косвенного осциллополярографического метода определения молибдена выше чувствительности как прямого осциллополярографического, так и спектрофотометрического методов.

Работа выполнена при финансовой поддержке фонда РФНИ, грант 96.03.-32371а.

#### СПИСОК ЛИТЕРАТУРЫ

1. Иванов В.М., Рыбаков А.В., Фигуровская В.Н., Кочелаева Г.А., Прохорова Г.В. // Вестн. Моск. ун-та. Серия 2. Химия. 1997. **38**. С. 345
2. Загрузина А.Н., Иванов В.М., Бусев А.И. // ЖАХ. 1978. **33**. С. 2395.
3. Иванов В. М. Гетероциклические азотсодержащие азосоединения. М., 1982.
4. Lassner E., Puschel R., Katzenruben K., Schedle H. // Microchim. acta. 1969. P. 134.
5. Hong-Bin He, Kok-Siong Siow, Hua Chi. // Anal. Chim. Acta. 1995. **29**. P. 73.